

## BARAJ YIKILMASI TAŞKIN DALGALARININ MANSAPTA oluşturacağı SU YÜZÜ PROFİLLERİNİN İNCELENMESİ

**Hatice (ÖZMEN) ÇAĞATAY**

*Ç.Ü., İnşaat Mühendisliği Bölümü, Adana/Türkiye*

**Selahattin KOCAMAN**

*M.K.Ü., İnşaat Mühendisliği Bölümü, Antakya/Türkiye*

**ÖZET :** Geçmişte meydana gelen bir çok felaket oldukça güvenli yapılar olmalarına rağmen her barajın bir yıkılma riskine sahip olduğunu göstermektedir. Bir barajın yıkılması durumunda rezervuarında depolanmış olan çok büyük miktarındaki su gedikten boşalarak mansapta çok sayıda can kaybına ve önemli hasarlara neden olabilecek bir taşkin yaratabilir. Bu nedenle baraj yıkılması sonucunda oluşan potansiyel taşkin koşullarının belirlenmesi ve su basması haritaları ile tahliye programlarını da içeren acil durum planlarının geliştirilmesi oldukça önemlidir. Bu çalışmada, baraj yıkılması sonucu oluşacak taşkin dalgasının büyüklüğü belirlenerek dinamik dalga yöntemi ile mansap boyunca ötelenmiştir. Mansapta su yüzü profilleri farklı zamanlar ve farklı Manning pürüzlülük değerleri için elde edilmiştir. NWS FLDWAV adlı bilgisayar modeli kullanılarak Kozan Barajı üzerinde bir uygulama yapılmıştır.

**Anahtar Kelimeler:** Baraj yıkılması, Taşkin ötelenmesi, Su yüzü profili, Pürüzlülük, Dinamik öteleme

### INVESTIGATION OF WATER SURFACE PROFILES OF DAM BREAK FLOOD WAVES AT THE DOWNSTREAM

**ABSTRACT :** Many disasters which have occurred in the past show that although dams are considerably safe structures, every dam has risk to fail. In the case of a dam break, large quantities of stored water in the reservoir is released through the breach into the downstream of the valley and can create major floods that can cause a great number of death and serious damages. Therefore, it is important to predict potential flood conditions resulting from dam break and to develop emergency action plans including inundation maps and evacuation programs. In this study, magnitude of the flood waves has been determined and routed along downstream of the dam by dynamic routing method. Water surface profiles for different times and for various Manning roughness coefficients have been obtained at the downstream. A case study was performed on Kozan Dam by using the computer model NWS FLDWAV.

**Key words:** Dam break, Flood routing, Water surface profile, Roughness, Dynamic routing

## 1. GİRİŞ

Taşın sonucu üssten aşma veya borulanma nedeniyle bir barajın yıkılması halinde, rezervuarında depolanmış olan çok büyük miktarda su kısa süre içerisinde boşalarak mansapta büyük taşınlara neden olacağından can kayıpları ve önemli ölçüde maddi hasarlar meydana gelebilir. Bu tür olayların etkileri, gözlemlerin yanı sıra sayısal ve fiziksel modellerden sağlanan bilgilere dayanarak acil durum planlarının hazırlanması ve baraj yıkılmasından dolayı sel basacak alanların belirlenmesiyle azaltılabilir. Baraj yıkılması taşın analizi genel olarak iki kısımda ele alınır. İlk olarak baraj gövdesi üzerinde meydana gelen bir gedikten çıkan taşın hidrografı hesaplanır. Daha sonra bu hidrograf mansaptaki akarsu kesiminde ötelenerek önceden belirlenen kesitlere ne zaman, hangi yükseklikte ve hangi debide varacağı, ne kadar zaman sonra hangi yüksekliğe düşeceği belirlenir.

Baraj yıkılması sonucu oluşan taşınların akarsu boyunca ötelenmesi için kullanılan modellerin birçoğunda gedik oluşumu ötelemeden ayrı olarak düşünülür ve gedik karakteristikleri bağımsız olarak belirlenerek taşın öteleme modellerine girdi olarak kullanılır (1).

Gedikten çıkan taşının baraj mansabında ötelenmesinde, süreklilik ve momentum (Saint-Venant) denklemlerinin sayısal çözümüne dayanan dinamik dalga yöntemi kullanılmaktadır (2). Bu yöntemde, ağırlıklı dört noktalı kapalı sonlu farklar ile belirli başlangıç ve sınır şartları altında çözüm yapılmaktadır (3,4).

Bu çalışmada NWS FLDWAV adlı bilgisayar modeli kullanılarak Kozan Barajı üzerinde uygulama yapılmıştır (5). Baraj yıkılması sonucu oluşan taşın dalgası belirlenerek baraj mansabı boyunca ötelenmiştir. Baraj yıkılması olayında uygun pürüzlülük katsayılarının seçimi bir belirsizliğe sahiptir. Yapılan çalışmalardaki gözlem sonuçları baraj yıkılması sonucunda ortaya çıkan akımın Manning pürüzlülük değerinin ( $n=0.08$ ) oldukça yüksek olabileceğini göstermekle birlikte belirsizlik söz konusudur (6). Bu nedenle mansapta su yüzü profilleri farklı pürüzlülük değerleri için farklı zamanlarda elde edilerek karşılaştırılmıştır.

## 2. TAŞIN ÖTELENMESİ

Baraj yıkılması sonucu meydana gelen taşınların mansap boyunca belirlenen bir mesafede ötelenmesinde Saint-Venant denklemleri olarak bilinen süreklilik ve momentum denklemlerinin sayısal çözümüne dayanan dinamik öteleme yöntemi kullanılmaktadır. Bu yöntem taşın dalgasının ivme etkilerini, akarsu yatağındaki kesit değişimlerini ve kabarma etkilerini dikkate alındıktan dolayı tek boyutlu taşın öteleme yöntemleri arasında en hassas olmalıdır. Bu sebeple taşın dalgası ivme hareketlerinin, ağırlık ve sürtünme etkilerine göre daha önemli olduğu baraj yıkılması taşınlarının ötelenmesinde kullanılan en uygun modeldir. Akımı idare eden süreklilik ve momentum denklemlerinin genel hali sırasıyla

$$\frac{\partial Q}{\partial x} + \frac{\partial s_w (A + A_0)}{\partial t} - q = 0 \quad (1)$$

$$\frac{\partial(s_m Q)}{\partial t} + \frac{\partial(\beta Q^2 / A)}{\partial x} + gA \left( \frac{\partial h}{\partial x} + S_f + S_e + S_i \right) + L + W_f B = 0 \quad (2)$$

şeklindedir. Burada  $Q$  debi,  $h$  su yüzeyi seviyesi,  $A$  akımın aktif enkesit alanı,  $A_0$  aktif olmayan enkesit alanı,  $s_{eo}$  ve  $s_m$  yükseklikle değişen kıvrımlık faktörleri,  $x$  akarsu yatağı boyunca boyuna uzaklık,  $t$  zaman,  $q$  giren yada çıkan yanal akım,  $\beta$  momentum düzeltme katsayısı,  $g$  yerçekimi ivmesi,  $S_f$  sürtünme eğimi (enerji çizgisi eğimi),  $S_e$  genişleme-daralma eğimi,  $S_i$  çamur/enkaz içeren akımlar gibi Newtonien olmayan akışkanların iç viskoz çalkantısıyla karşılaşılan ilave sürtünme eğimi,  $B$  su yüzeyi ( $h$ ) seviyesindeki aktif akarsu üst genişliğini,  $W_f$  akım yüzeyi üzerindeki rüzgar direnci etkisini gösterir.

Denklem (1) ve (2)'deki Saint-Venant denklemleri lineer olmayan, hiperbolik kısmi diferansiyel denklem sistemi oluşturur. Denklemler iki bağımsız değişken ( $x$  ve  $t$ ), iki bağımlı değişken ( $h$  ve  $Q$ ) içerir. Kalan terimler ya  $x$ ,  $t$ ,  $h$  ve  $Q$ 'nın fonksiyonlarıdır ya da sabitlerdir. Bu denklemler, kanal geometrisi ve sınır şartlarının karışık olmadığı ve denklemlerin lineer olmayan özelliklerinin ihmali edildiği veya lineer kabul edildiği durumlar hariç analitik çözümler için uygun değildir. Bu nedenle denklemlerin çözümünde sayısal yöntemler kullanılır. Sayısal yöntemler içinde oldukça fazla uygulama alanı bulan sonlu farklar yöntemi, kolay uygulanabilirliği nedeni ile diferansiyel denklemlerin çözümünde tercih edilir.

Bir çok avantajı bulunduğundan dolayı “ağırlıklı dört noktalı kapalı” şema diferansiyel denklemlerin çözümünde yaygın olarak kullanılmaktadır. Şekil 1'de görülen şema dikdörtgen şeklindeki  $x-t$  (mesafe-zaman) ağından oluşur,  $i$  indisinde mesafeyi  $j$  indisinde zamanı simgeler. Kısıtlı türevlerin sonlu fark ifadeleri karenin (grid) ortasında yer alan  $M$  noktasına göre yazılır. Böylece  $M$ 'nin etrafındaki dört noktada kullanılmış olur.  $\Delta x$  mesafe  $\Delta t$  ise zaman adımlarının göstermektedir.  $\Delta x$  ve  $\Delta t$  adımlarının eşit olması gerekmeli gibi  $\Delta x$  ve  $\Delta t$ 'nin büyük değerleri için bile doğru sonuca ulaşılmalıdır. Burada önemli olan  $\Delta x$  ve  $\Delta t$ 'nin artımlarındaki miktarın orantılı olmasıdır.  $M$  noktasındaki zamana bağlı türevler  $x$  ekseni boyunca  $i$ 'inci ve  $i+1$ 'inci noktalar arasında orta noktada,

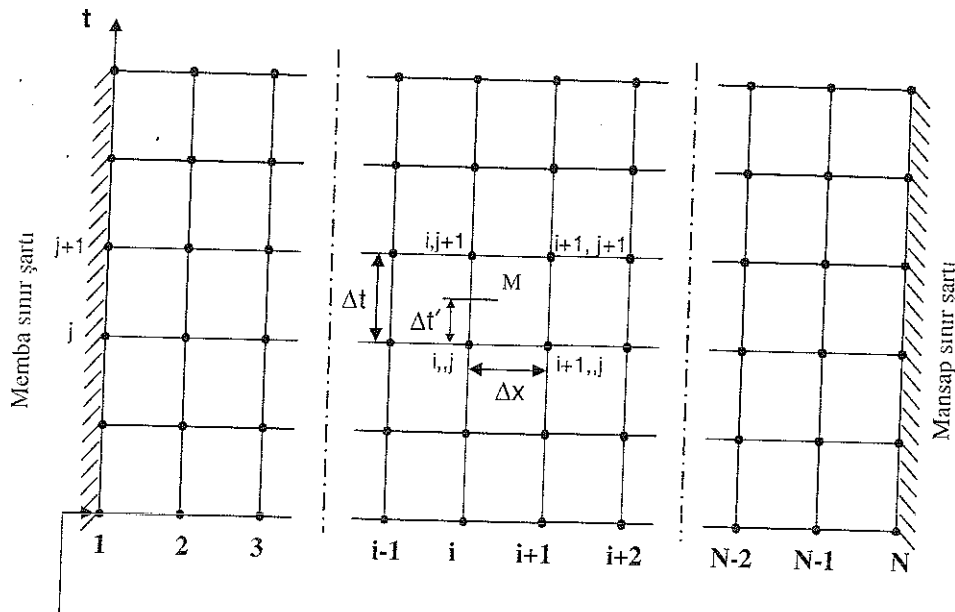
$$\frac{\partial \Psi}{\partial t} = \frac{\Psi_{i+1}^{j+1} + \Psi_{i+1}^j - \Psi_i^j - \Psi_{i+1}^j}{2\Delta t_j} \quad (3)$$

ifadesi ile bulunur. Burada  $\Psi$  herhangi bir değişkeni ( $Q$ ,  $h$ ,  $A$ ,  $A_0$ ,  $S_0$ ,  $s_{eo}$  vb.) gösterir.

$\theta = \Delta t' / \Delta t$  olmak üzere  $M$  noktasındaki yersel türevler  $\theta$  ve  $(1-\theta)$  ağırlık faktörlerine göre iki bitişik zaman çizgisi arasında,

$$\frac{\partial \Psi}{\partial x} = \theta \left[ \frac{\Psi_{i+1}^{j+1} - \Psi_i^{j+1}}{\Delta x_j} \right] + (1-\theta) \left[ \frac{\Psi_{i+1}^j - \Psi_i^j}{\Delta x_j} \right] \quad (4)$$

ifadesi ile belirlenir.



Şekil 1. Saint-Venant denklemlerinin sonlu fark formunun yazıldığı x-t ağı

Türevler dışındaki değişkenler, yersel türevlerin aynı ağırlık faktörleri kullanılarak değerlendirildiği noktadaki zaman çizgisinde,

$$\Psi = \theta \left[ \frac{\Psi_i^{j+1} + \Psi_{i+1}^{j+1}}{2} \right] + (1 - \theta) \left[ \frac{\Psi_i^j + \Psi_{i+1}^j}{2} \right] \quad (5)$$

İfadesi ile hesaplanır.  $\theta$  ağırlık faktörü için  $0.55 \sim 0.60$  arasında bir değer alınır.

Denklem (3), (4) ve (5)'teki sonlu fark ifadeleri, (1) ve (2) denklemlerindeki türevlerin ve diğer değişkenlerin yerine yazılırsa aşağıdaki ağırlıklı dört noktalı kapalı sonlu fark formundaki denklemler elde edilir.

Süreklik denklemi:

$$\begin{aligned} & \theta \left[ \frac{Q_{i+1}^{j+1} - Q_i^{j+1}}{\Delta x_i} \right] - \theta q_i^{j+1} + (1 - \theta) \left[ \frac{Q_{i+1}^j - Q_i^j}{\Delta x_i} \right] - (1 - \theta) q_i^j \\ & + \left[ \frac{s_{coi}^{j+1} (A + A_0)_i^{j+1} + s_{coi}^{j+1} (A + A_0)_{i+1}^{j+1} - s_{coi}^j (A + A_0)_i^j - s_{coi}^j (A + A_0)_{i+1}^j}{2\Delta t_j} \right] = 0 \end{aligned} \quad (6)$$

Momentum denklemi:

$$\begin{aligned}
 & \left[ \frac{(s_{m_i} Q_i)^{j+1} + (s_{m_i} Q_{i+1})^{j+1} - (s_{m_i} Q_i)^j - (s_{m_i} Q_{i+1})^j}{2\Delta t_j} \right] \\
 & + \theta \left[ \frac{(\beta Q^2 / A)_{i+1}^{j+1} - (\beta Q^2 / A)_i^{j+1}}{\Delta x_i} + g \bar{A}^{j+1} \left( \frac{h_{i+1}^{j+1} - h_i^{j+1}}{\Delta x_i} + \bar{S}_i^{j+1} + S_e^{j+1} + \bar{S}_i^{j+1} \right) + L_i^{j+1} + (W_f \bar{B})_i^{j+1} \right] \\
 & + (1-\theta) \left[ \frac{(\beta Q^2 / A)_{i+1}^j - (\beta Q^2 / A)_i^j}{\Delta x_i} + g \bar{A}^j \left( \frac{h_{i+1}^j - h_i^j}{\Delta x_i} + \bar{S}_i^j + S_e^j + \bar{S}_i^j \right) + L_i^j + (W_f \bar{B})_i^j \right] = 0 \quad (7)
 \end{aligned}$$

## 2.1. Lineer Olmayan Denklem Takımının Sayısal Çözümü

Denklem (6) ve (7)'deki  $j$ 'inci zaman çizgisinde yer alan terimler başlangıç şartları yada önceki hesaplamlardan bilinir. Başlangıç şartları  $x$  ekseni boyunca ilk zaman çizgisi için ( $t=0$  anında) her bir düğüm noktasındaki  $h_i^j$  ve  $Q_i^j$  değerleri arasındaki ilişkiden belirlenir.  $g$ ,  $\Delta x_i$ ,  $\bar{B}_i$ ,  $C_w$ ,  $k_{ce}$  gibi terimler çözümden bağımsız olarak belirlenen ve bilinen büyüklüklerdir.  $j+1$ 'inci zaman çizgisindeki  $A_i^{j+1}$ ,  $A_{i+1}^{j+1}$ ,  $B_i^{j+1}$ ,  $B_{i+1}^{j+1}$ ,  $S_{ri}^{j+1}$  gibi terimler bilinmeyen olmalarına rağmen  $h$  ve  $Q$ 'nun fonksiyonları olarak ifade edilebildiklerinden temel bilinmeyenler  $Q_i^{j+1}$ ,  $h_i^{j+1}$ ,  $Q_{i+1}^{j+1}$ ,  $h_{i+1}^{j+1}$  terimleridir.

Sonlu fark formundaki denklem (6) ve (7)'de dört bilinmeyen ( $Q_i^{j+1}$ ,  $h_i^{j+1}$ ,  $Q_{i+1}^{j+1}$ ,  $h_{i+1}^{j+1}$ ) ve buna karşın sadece iki denklem mevcut olduğundan doğrudan çözüm yapılamaz. Bununla birlikte (6) ve (7) denklemleri memba ( $i=1$ ) ve mansap ( $i=N$ ) sınırları arasında yeralan ve Şekil 1'de gösterilen ( $N-1$ ) adet dikdörtgen ağıın her noktasına uygulanırsa,  $2N$  bilinmeyenli ( $2N-2$ ) denklemden meydana gelen lineer olmayan bir denklem sistemi elde edilir.  $N$ , enkesitlerin toplam sayısını gösterir. Daha sonra birisi memba sınırında ve diğerı mansap sınırında olmak üzere önceden belirlenmiş sınır şartları denklem takımının çözümü için gerekli iki ilave denklemi sağlar.

Lineer olmayan denklem sistemi,  $j+1$ 'inci zaman çizgisinde bilinmeyen parametreler olan  $h$  ve  $Q$  cinsinden aşağıda görüldüğü gibi özetlenebilir.

$UB(h_i^{j+1}, Q_i^{j+1}) = 0$	memba sınır şartı
$C_1(h_i^{j+1}, Q_i^{j+1}, h_2^{j+1}, Q_2^{j+1}) = 0$	birinci gridteki süreklilik denklemi
$M_1(h_i^{j+1}, Q_i^{j+1}, h_2^{j+1}, Q_2^{j+1}) = 0$	birinci gridteki momentum denklemi
.....	
$C_i(h_i^{j+1}, Q_i^{j+1}, h_{i+1}^{j+1}, Q_{i+1}^{j+1}) = 0$	$i$ 'inci gridteki süreklilik denklemi
.....	
$M_i(h_i^{j+1}, Q_i^{j+1}, h_{i+1}^{j+1}, Q_{i+1}^{j+1}) = 0$	$i$ 'inci gridteki momentum denklemi
.....	

$$\begin{aligned} C_{n-1}(h_{n-1}^{j+1}, Q_{n-1}^{j+1}, h_n^{j+1}, Q_n^{j+1}) &= 0 \\ M_{n-1}(h_{n-1}^{j+1}, Q_{n-1}^{j+1}, h_n^{j+1}, Q_n^{j+1}) &= 0 \\ DB(h_n^{j+1}, Q_n^{j+1}) &= 0 \end{aligned}$$

n-1'inci gridteki süreklilik denklemi  
 n-1'inci gridteki momentum denklemi  
 mansap sınır şartı

Burada C'ler süreklilik denklemini, M'ler momentum denklemini, UB memba sınır şartını (upstream boundary), DB mansap sınır şartını (downstream boundary) ifade etmektedir. 2N bilinmeyenli lineer olmayan 2N adet denklem sisteminin çözümü Newton-Raphson yöntemi ile yapılır.

Lineer olmayan denklem sisteminin ardışık çözüm hesaplamaları, 2N bilinmeyen için başlangıç deneme değerlerinin verilmesiyle başlar. Q ve h için bu deneme değerleri j zaman çizgisinde başlangıç şartından bilinen ( $j=1$  ise) veya önceki zaman adımı hesaplamalarından bilinen deneme değerleri olabilir. Deneme değerlerinin denklem sistemi içerisinde yerine konulmasıyla 2N adet fark elde edilir. Newton-Raphson yöntemi, bu farklıların uygun bir tolerans seviyesine azalana veya sıfır yaklaştıran kadar deneme değerinin düzeltmesini sağlar.

Bu denklem sisteminin Newton-Raphson iterasyon tekniği ile çözülebilmesi için teknik gereği sistem her bir  $\Delta t$  zaman dilimi için önce lineer hale getirilmekte bunun içinde Jacobian matrisine ihtiyaç duyulmaktadır. Jacobian katsayılar matrisi 2N adet denklemenin 2N adet bilinmeyene göre birinci türevinin alınması ile elde edilmektedir. Lineer hale gelen sistem Gauss Eliminasyon yöntemi ile çözülebilmektedir.

Saint Venant denklem takımının çözülebilmesi için memba ve mansap sınır şartlarının bilinmesi gereklidir. Memba sınır şartı önceden belirlenmiş bir debi  $Q_1 = Q(t)$  veya su yüzeyi hidrografi  $h_1 = h(t)$  olabilir. Mansap kesitinin fiziksel özelliklerine ve mevcut imkanlara bağlı olarak farklı sınır şartları kullanılabilir ancak genelde son kesite ait tek değerli veya dinamik kapalı anahtar eğrileri kullanılmaktadır.

Ayrıca Saint-Venant değişken akım denklemlerinin sayısal çözümüne başlayabilmek için, hesaplamaların başlangıcında ( $t=0$  anında) tüm enkesitlerde ( $i=1, 2, 3, \dots, N$ ) akımın durumu ( $h_i$  ve  $Q_i$ ) bilinmelidir. Bu durum akımın başlangıç şartları olarak adlandırılır.

Saint-Venant denklemlerinin sonlu farklarla çözümünde, hesaplamalarda güçlüklerle karşılaşmamak ve kabul edilebilir nümerik hassaslık elde edebilmek için mesafe adımlarının ( $\Delta x_i$ ) ve zaman adımlarının ( $\Delta t$ ) uygun bir biçimde seçilmesi büyük önem taşır.

### 3. UYGULAMA VE TARTIŞMA

Bu çalışmada baraj yıkılması sonucu oluşan taşın hidrografının belirlenmesi ve mansaptaki akarsu boyunca ötelenmesi için National Weather Service (A.B.D.) tarafından geliştirilmiş olan NWS FLDWAV (1998) adlı bilgisayar paket programı kullanılmıştır (5). Program yardımıyla, baraj yıkılması sonucu oluşan gedikten çıkan akım hidrografi hesaplanmakta ve bu hidrograf mansap boyunca ötelenmektedir.

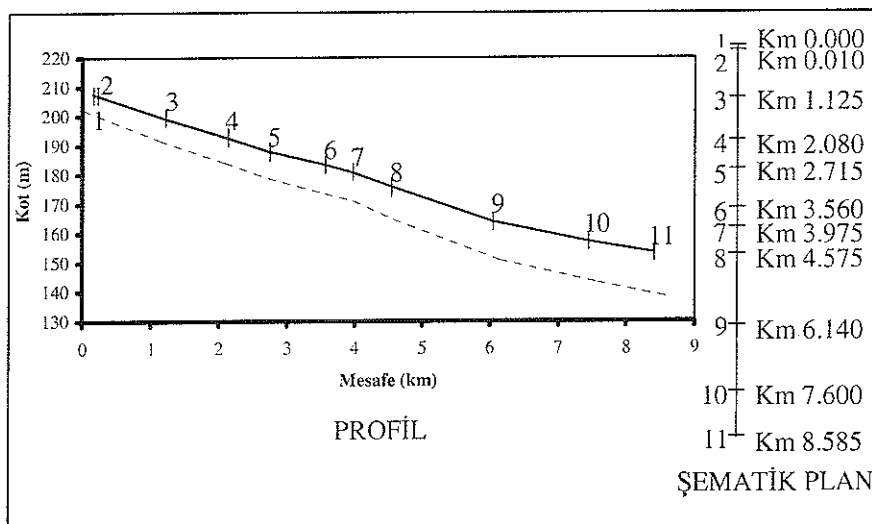
Baraj yıkılması sonucu meydana gelen taşın dalgası baraj mansabındaki akarsu kısmında ötelenirken modelde akımı idare eden bir boyutlu denklemler kullanılmaktadır. Bu nedenle uygulamada kullanılacak baraj seçiminde öncelikle akarsu kesiminin akımın düşey ve yatay yöndeki hareketlerinin ihmal edilebileceği, dar bir vadide sahip olmasına dikkat edilmiştir. Ayrıca mansapta risk altındaki popülasyonun

*BARAJ YIKILMASI TAŞKIN DALGALARININ MANSAPTA OLUŞTURACAGI  
SU YÜZÜ PROFİLLERİNİN İNCELENMESİ*

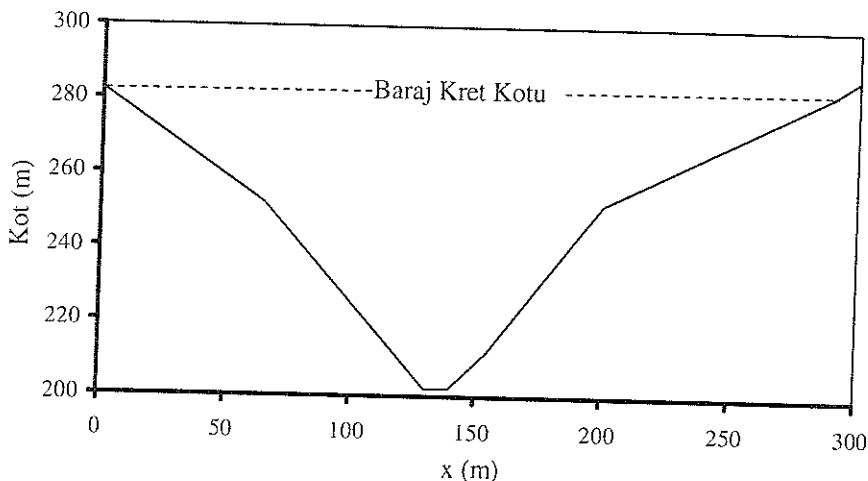
varlığına da bakılmıştır. Yıkılma mekanizması toprak dolgu barajlarda daha iyi bilindiğinden ilk olarak bölgemizdeki toprak dolgu barajlar incelenmiş ve bu koşula uyen toprak dolgu baraj olmadığı görülmüştür. Bu yüzden kriterlere en yakın olan kil çekirdekli, kaya dolgu olmasına rağmen Kozan Barajı uygulama için seçilmiştir. Bununla birlikte barajın deprem bölgesi içinde olması da baraj için bir risk oluşturmaktadır.

Kozan barajı Kozan ilçesinin 10 km kuzey doğusunda olup Kilgen çayı üzerinde sulama amacıyla inşa edilmiştir. 55000 nüfuslu Kozan ilçesi barajın mansabında bulunmaktadır ve barajın yıkılması halinde ilçe risk altındadır.

Uygulamada aralarındaki mesafe 0.415 ile 1.565 km arasında değişen 11 kesit kullanılmıştır. İlk iki kesit baraj aksında ve son kesit baraja 8.585 km uzaklıktadır. Her enkesit 9 tane seviye (H) ve buna karşılık gelen kanal üst genişliği (B) çifti ile tanımlanmıştır. Kesit yerlerinin profili ile şematik planı Şekil 2'de ve baraj aksındaki enkesit ise Şekil 3'te gösterilmiştir.



Baraj yıkılması olayında akımın pürüzlülük katsayılarının kesin bir değeri olmamakla birlikte oldukça yüksek olduğu bilinmektedir. Kozan Barajı mansabında yapılan gözlem sonucunda Manning pürüzlülük değerinin  $n=0.06$  olduğuna karar verilmiştir. Bununla birlikte baraj aksından 9. kesite (6.140 km) kadar akarsu kıvrımlarının fazla oluşu nedeniyle, bu bölgede seçilen değer  $n=0.08$  alınarak kıvrımlılık etkisi yansıtılmaya çalışılmıştır.



Şekil 3. Baraj aksına ait enkesit

Baraj yıkılması analizinde barajın yıkılmasına neden olacak etken (deprem, taşın vb.), yıkılmanın şekli (borulanma, üstten aşma vb.) ve yıkılma meydana geldiği anda göldeki su seviyesinin ne olacağı önceden kestirilememektedir. Kozan Barajına ait dolusavak kapasitesi incelendiğinde muhtemel maksimum taşkını rahatlıkla deşarj edebilecek yeterliliğe sahip olduğu görülmüştür. Taşınların kaynağını sadece yağış suları oluşturduğu için muhtemel taşınlar Kozan barajı için risk oluşturmamaktadır. Bu sebeple barajın gövde üzerinden su aşması sonucu yıkılması olası görülmemektedir. Bundan dolayı çalışmada barajın gövdesinde oluşarak gelişen dahili bir erozyon yani borulanma sonucunda yıkıldığı varsayılmıştır. Literatürde borulanmanın genellikle tabandan, baraj yüksekliğinin  $1/2$ 'si ile  $2/3$ 'ü arasında bir noktada başladığı söylenmektedir (7). Yapılan analizlerde daha kritik olduğu için borulanma merkezi barajın orta noktası olan 239 m olarak seçilmiş ve aşınmanın talvez seviyesinde (202 m) sonlandığı kabul edilmiştir. Bu seçimin yapılmasının nedeni, borulanmanın barajın orta noktasında başlaması durumunda gedik üstündeki su yükü daha fazla olacağından genellikle yıkılmanın daha kısa sürede meydana gelmesi dolayısıyla daha kritik bir hal olmasıdır.

Şekil 4'te baraj yıkılması sonucu elde edilen taşın hidrografı ile öteleme mesafesinin sonundaki (kesit 11) çıkan akım hidrografları görülmektedir. Diğer sekiz kesite ait hidrograflar ikisinin arasında yer almaktadır. Şekil 4'e bakıldığında hidrografın zamana göre bir miktar ötelerek ( $\approx 10$  dakika) pik debi değerinin düşlüğü ve çok az yayvanlaşlığı görülebilir. Pik debiler arasındaki farkın küçük olması öteleme mesafesinin kısa ve dar olması, akarsu boyunca biriktirme hacimlerinin fazla olmayacağı, su kayıplarının ihmali edilmesi ile açıklanabilir.

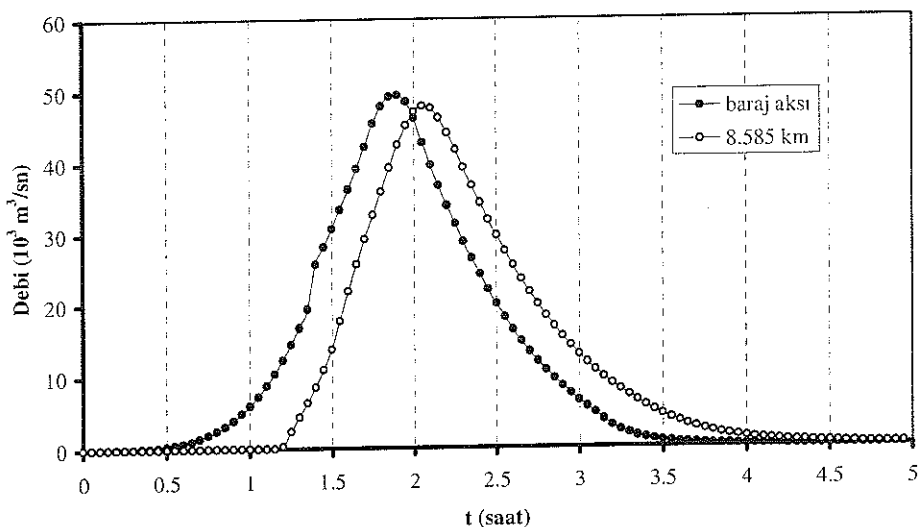
Şekil 5 su yüzü profillerinin zamanla değişimi göstermektedir. Zaman seçiminde kesitlerde pik debinin görüldüğü ortalama zaman ( $t \geq 2$  saat) baz alınarak hidrografların iki artan kolundan ( $t=1.5, 1.75$  saat) iki de azalan kolundan ( $t=2.25, 2.5$  saat) olmak üzere toplam beş farklı zaman ele alınmıştır. Baraj aksından 3. km'ye kadar su derinliği

**BARAJ YIKILMASI TAŞKIN DALGALARININ MANSAPTA OLUŞTURACAGI  
SU YÜZÜ PROFİLLERİNİN İNCELENMESİ**

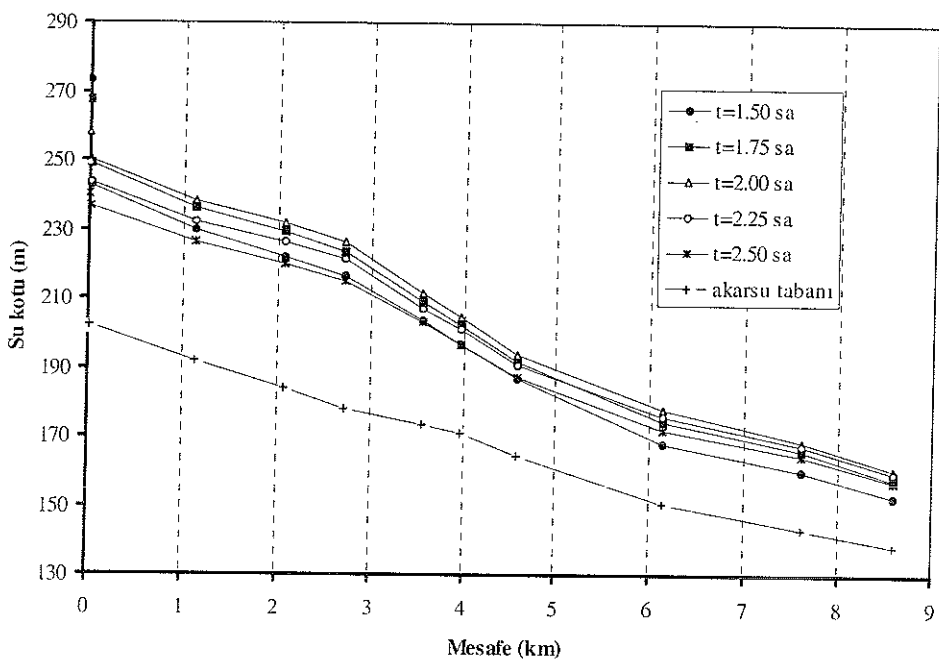
fazla olup kabarma etkisi gözlenmekte mansapta ilerledikçe akarsu enkesitinin de genişlemesiyle su derinliğinde azalma görülmektedir.

Su yüzü profiline pürüzlülük değişimini Şekil 6'da verilmiştir. Pürüzlülük değerleri seçildirken  $n=0.08$  esas alınmış bu değerin %25 fazlası olan  $n=0.1$  ve %25 eksiği  $n=0.06$  ile karşılaştırılmıştır. Burada zaman olarak bütün kesitlerde pik debiye ulaşma süresinin ortalaması olan  $t \geq 2$  saat alınmıştır. Sudaki yükseklik pürüzlüğün artışıyla artmaktadır, başlangıçtan 2. km'ye kadar ve 3.5 km - 6 km arasında fark daha belirgin olarak gözlenmektedir.

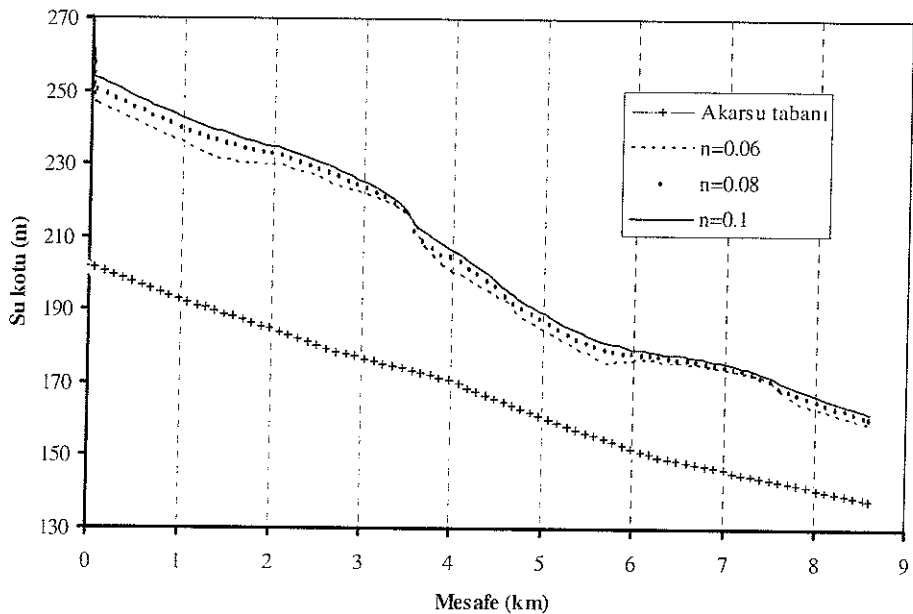
Şekil 7 ve Şekil 8 sırasıyla  $t=1.5$  saat ve  $t=2.5$  saat anındaki farklı pürüzlülük değerlerine ait su yüzü profillerini göstermektedir. Bu zaman değerlerinin biri taşın hidrografının yükselen kolunda diğer alçalan kolunda seçilmiştir. Yükselen kol için ( $t=1.5$  saat) öteleme mesafesinin yarısına kadar olan kısmında pürüzlülük etkisini göstermiş geri kalan kısmında belirgin bir fark gözlenmemiştir. Alçalan kol için ( $t=2.5$  saat) ise pürüzlülük etkisi öteleme mesafesi boyunca belirgin olup profiller arasında bir paralellik görülmektedir.



Şekil 4. Baraj akşinde (0.00 km) ve son kesitteki (8.585 km) taşın hidrografları

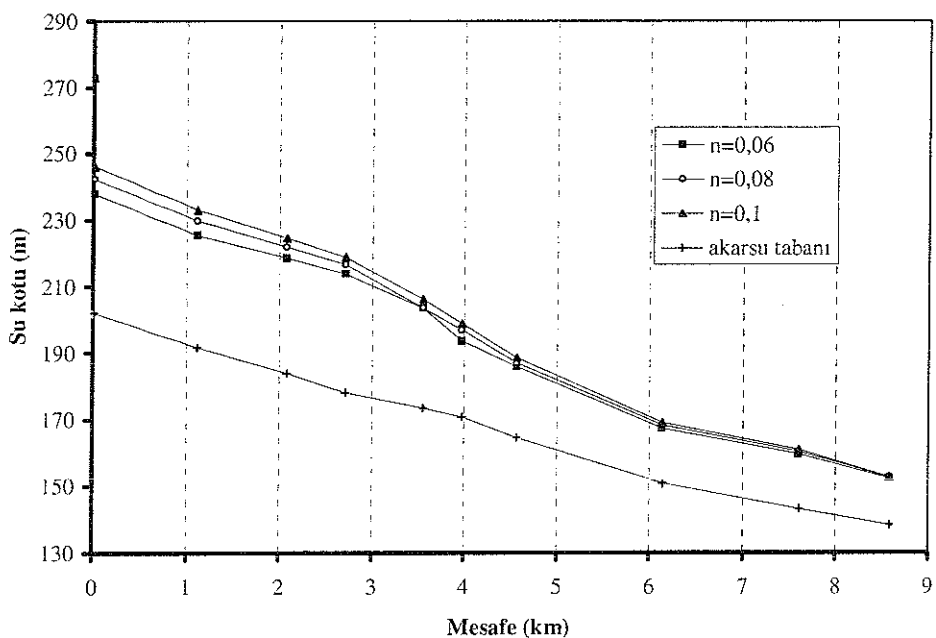


**Şekil 5.** Farklı zamanlardaki su yüzü profilleri

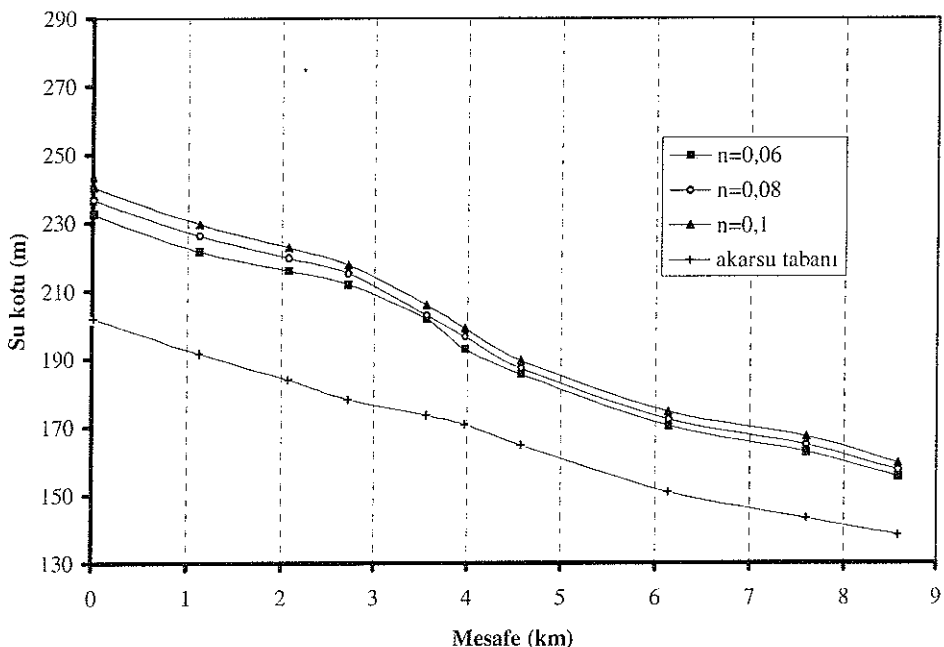


**Şekil 6.** Farklı pürüzlülük değerleri için maksimum su seviyesi profilleri

*BARAJ YIKILMASI TAŞKIN DALGALARININ MANSAPTA OLUŞTURACAGI  
SU YÜZÜ PROFİLLERİNİN İNCELENMESİ*



Şekil 7.  $t = 1.5$  saat anındaki farklı pürüzlülük değerleri için su yüzü profilleri



Şekil 8.  $t = 2.5$  saat anındaki farklı pürüzlülük değerleri için su yüzü profilleri

#### 4. SONUÇLAR

Elde edilen bulgulara dayanarak Kilgen çayı üzerinde bulunan Kozan barajının yıkılması sonucunda, barajın 10 km mansabında bulunan Kozan ilçesinin büyük bir kısmının taşından zarar göreceği söylenebilir. Bu çalışmadan elde edilen sonuçlar aşağıda özetlenmiştir:

NWS FLDWAV isimli bilgisayar programı kullanılarak Kozan Barajının yıkılması sonucu oluşan taşın hidrografi hesaplanmış ve bu program yardımıyla baraj mansabında 8.5 km'lik bir mesafe boyunca ötelemiştir. Pik debiler arasındaki farkın küçük olması öteleme mesafesinin kısa ve dar olması, akarsu boyunca biriktirme hacimlerinin fazla olmayacağı, su kayıplarının ihmali edilmesi ile açıklanabilir.

Farklı zaman değerleri için mansap boyunca su yüzü profilleri çizilerek dalga hareketinin oluşumu gözlenmiştir. Baraj yıkılması sonucu oluşan taşının mansapta hangi zamanda hangi yükseklikte olacağı belirlenmiştir.

Pürüzlülük değişiminin su yüzü profillerine etkisi irdelenmiştir. Pürüzlülüğün artmasıyla akım hızı düşmekte buna bağlı olarak hidrografının seyahat süresi artmaktadır ve öteleme mesafesi boyunca, su seviyelerinde yükselmeye neden olmaktadır.

Öteleme mesafesi boyunca ilerlerken taşın hidrografının yükselen kolunda alınan zaman değerinde, farklı pürüzlülük değerleri için su yüzü profilleri birbirine yaklaşmaktadır. Alçalan kolunda alınan zaman değerinde ise öteleme mesafesi boyunca su yüzü profilleri arasındaki fark daha belirgin olup profiller arasında paralellik gözlenmektedir.

#### 5. KAYNAKLAR

1. Kocaman,S., "Baraj Yıkılması Analizi ve Uygulaması", Yüksek Lisans Tezi, Çukurova Üniversitesi, Adana, Türkiye, 2002.
2. Chow,V.T., Maidment,D.R. ve Mays,L.W., "Applied Hydrology", McGraw-Hill Co., New York, 310-342, 1988.
3. Özmen,H., "Baraj Gölünden Taşın Öteleme Modelleri", Doktora Tezi, Çukurova Üniversitesi, Adana, Türkiye, 1999.
4. Jin,M. and Fread,D.L., "Dynamic Flood Routing with Explicit and Implicit Numerical Solution Schemes", ASCE, Journal of Hydraulic Engineering, 123(3):166-173, 1997.
5. Fread,D.L. ve Lewis,J.M., "NWS FLDWAV Model: Theoretical Description / User Documentation", Silver Spring , Maryland, 1998.
6. Morris,M.W. ve Galland,J.C., "CADAM (Concerted Action on Dambreak Modelling): Dambreak Modelling Guidelines & Best Practice". HR Wallingford, Howbery Park, Wallingford, Oxon, OX10 8BA, United Kingdom, 1998.
7. Molu,M., "Dam-Break Flood in A Natural Channel: A Case Study", Yüksek Lisans Tezi, ODTÜ, Türkiye, 1995.